# Неавтономные симметрии КдФ и решения типа ступеньки

В.Э. Адлер

Изучаются решения уравнения КдФ, определяемые стационарным уравнением для симметрий из некоммутативной подалгебры, а именно, для линейной комбинации мастер-симметрии и симметрии растяжения. Рассматриваемая связь эквивалентна ОДУ порядка 6, обладающему двумя первыми интегралами. Решения общего положения имеют особенность на прямой t=0. Требование регулярности выделяет 3-параметрическое семейство решений, осциллирующих около 1 и удовлетворяющих, при t=0, уравнению, эквивалентному вырожденному уравнению  $P_5$ . Численные эксперименты показывают, что в этом семействе можно выделить 2-параметрическое подсемейство сепаратрисных решений типа ступеньки, выходящих на разные константы при  $x \to \pm \infty$ , со степенной скоростью. Это дает пример точного решения в задаче Гуревича-Питаевского о распаде начального разрыва.

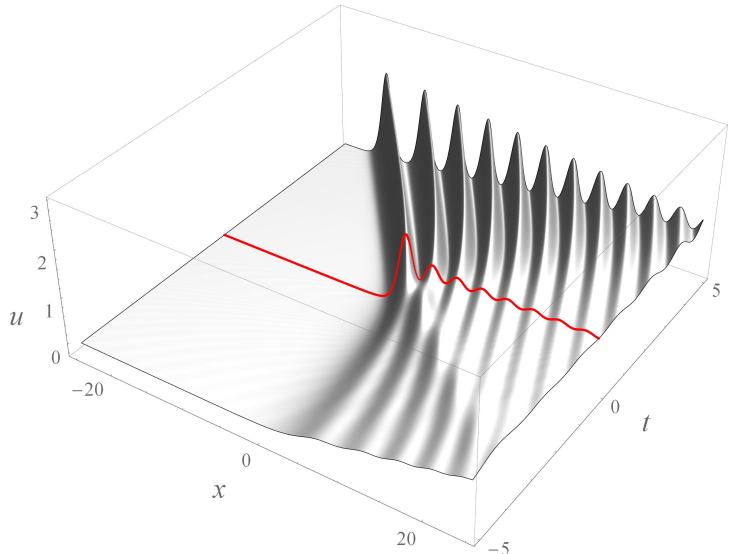
ИТФ им. Л.Д. Ландау · Черноголовка · 15 ноября 2019 ·  $\underline{\mathsf{arXiv}}$ :1911.04770

#### План

- Основной результат
- о Мотивировка: задача Гуревича-Питаевского
- Отличия от решения Гуревича-Питаевского
- о Стационарные уравнения неавтономных симметрий КдФ
- о Представление нулевой кривизны и первые интегралы
- Некоторые явные решения
- Решения общего положения
- $\circ\,$  Уравнение Пенлеве при t=0
- Регулярные решения
- Предельный переход к решению типа ступеньки
- Решение типа ступеньки
- Заключение

#### Основной результат

Уравнение КдФ  $u_t=u_3+6uu_1$  допускает решения «типа ступеньки» (выходящие на разные постоянные при  $x\to\pm\infty$ ), удовлетворяющие некоторому неавтономному ОДУ порядка 6.



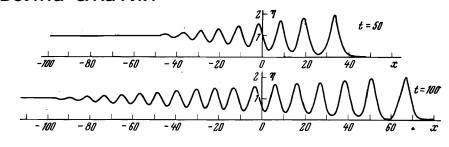
### Мотивировка: задачи Гуревича-Питаевского

ГП (1973): режимы развития осцилляций в нелинейных моделях

### Распад начального разрыва

$$u(x,0) = \begin{cases} 0, & x < 0, \\ 1, & x \ge 0. \end{cases}$$

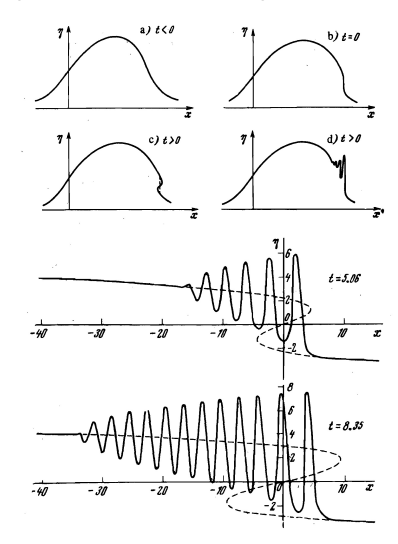
#### волна сжатия



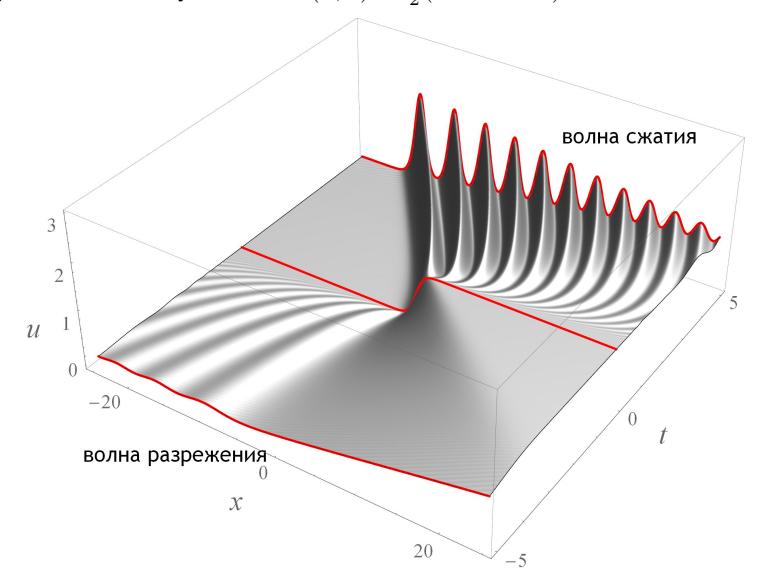
волна разрежения и волна сжатия (в КдФ нужно рассматривать отдельно)



### Окрестность точки опрокидывания



Нас интересует задача о ступеньке. Построить решение для достаточно общих начальных условий нетрудно методом сеток, например, по схеме Забуски–Краскала. Однако, такое решение не обязано удовлетворять какому-либо ОДУ. Пример с начальным условием  $u(x,0)=\frac{1}{2}(1+\tanh x)$ .



- Известные результаты (список, конечно, неполный):
  - $\circ$  Хруслов, Котляров (<u>1976</u>, 1994), Venakides (<u>1986</u>): метод обратной задачи, уточнение асимптотических формул
  - Cohen (<u>1984</u>), Карреler (<u>1986</u>) и др.: обоснование корректности задачи Коши со ступенько-образными и более общими начальными условиями, при различных предположениях
- $\circ$  Бикбаев (<u>1989</u>), Новокшенов (<u>2005</u>), Егорова, Teschl (<u>2013</u>) и др.: обобщения на конечнозонную асимптотику и на другие уравнения

Аналогичные результаты получены для второй задачи ГП, об окрестности точки опрокидывания.

Характер решений в обеих задачах ГП наводит на мысль об автомодельности. Нельзя ли описать их на языке классических или высших симметрий КдФ?

Для окрестности точки опрокидывания, эта идея была реализована.

 Сулейманов и Кудашев (<u>1994</u>, <u>1996</u>): решение нужного вида допускает стационарное уравнение для суммы высшей симметрии 5-го порядка и симметрии Галилея

$$u_{t_5} + ku_{\tau_1} = 0 \quad \Leftrightarrow \quad u_4 + 10uu_2 + 5u_1^2 + 10u^3 + k(6tu + x) = 0$$

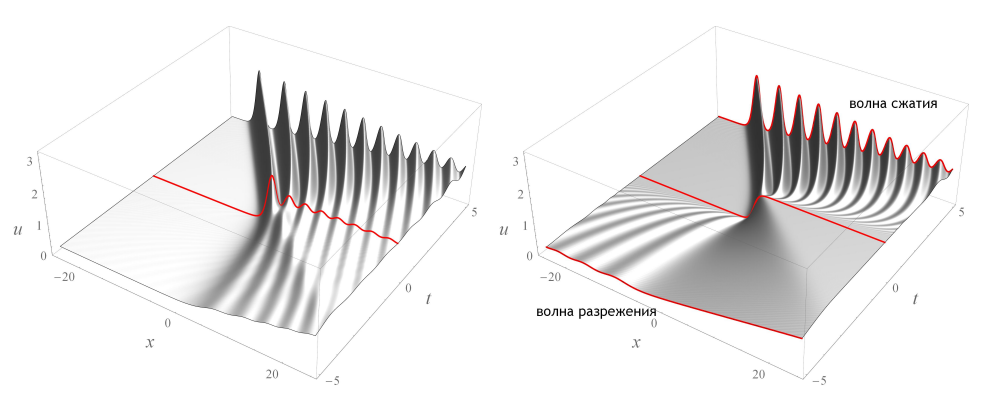
- Дубровин (<u>2006</u>): гипотеза о единственности решения
- Claeys, Vanlessen (2007): доказательство существования

Мы хотим показать, пока что только численно, что в задаче о ступеньке тоже есть решение (2-параметрическое семейство), связанное с неавтономными симметриями.

### Отличия от решения Гуревича-Питаевского

Решение  $\Gamma\Pi$  имеет начальное условие в виде единичного скачка. На снимках мы видим решение, похожее на  $\Gamma\Pi$ . Но есть и заметные различия:

- о начальное условие не является монотонным;
- $\circ$  решение стремится к 0 как  $O(x^{-2})$ , к 1 как  $O(x^{-1})$ ;
- о осцилляции в нижней части волны разрежения отсутствуют, вместо них происходит рассасывание начальных осцилляций в верхней части.



# Стационарные уравнения неавтономных симметрий КдФ

Полная алгебра высших симметрий КдФ получается при помощи оператора рекурсии  $R=D_x^2+4u+2u_1D_x^{-1}$ :

$$u_{t_{2j+1}} = R^j(u_1), \quad u_{\tau_{2j+1}} = R^j(6tu_1 + 1), \quad j = 0, 1, 2, \dots$$

(коммутативная и некоммутативная части иерархии КдФ).

Все симметрии КдФ порядка  $\leq 5$ :

$$\begin{array}{ll} u_{t_1} = u_1 & \text{(сдвиг по } x\text{)} \\ u_{t_3} = (u_2 + 3u^2)_x & \text{(сдвиг по } t\text{)} \\ u_{t_5} = (u_4 + 10uu_2 + 5u_1^2 + 10u^3)_x & \text{(высшая симметрия)} \\ u_{\tau_1} = 6tu_1 + 1 & \text{(преобразование Галилея)} \\ u_{\tau_3} = 3tu_{t_3} + xu_1 + 2u & \text{(растяжение)} \\ u_{\tau_5} = 3tu_{t_5} + xu_{t_3} + 4u_2 + 8u^2 + 2u_1u_{-1} & \text{(мастер-симметрия)} \end{array}$$

Нелокальная переменная  $v=u_{-1}$  в последнем уравнении дифференцируется по правилу

$$v_x = u, \quad v_t = u_2 + 3u^2.$$

- $\circ$  Ибрагимов, Шабат ( $\underline{1979}$ ): впервые выписана мастер-симметрия  $\partial_{ au_5}$
- Fuchssteiner (<u>1983</u>) и др.: «мастер-симметрия» (уравнения Бенджамина— Оно, КП и др.)
- Орлов, Шульман (1985): алгебра симметрий НУШ
- Бурцев, Захаров, Михайлов (<u>1987</u>): представление нулевой кривизны с переменным спектральным параметром

Стационарное уравнение E[u]=0 для любой линейной комбинации симметрий удовлетворяет тождеству

$$D_t(E) = (D_x^3 + 6uD_x + 6u_1)(E) = 0,$$

то есть, это связь, совместная с КдФ.

- Новиков, Дубровин, Матвеев (<u>1974</u>, <u>1976</u>): конечнозонные решения, при использовании только автономных симметрий
- о добавление неавтономных приводит к уравнениям Пенлеве и их высшим аналогам, как в случае уравнения Сулейманова
- o Moore (1990) и др.: струнные уравнения

Общая линейная комбинация симметрий порядка  $\leq 5$  приводит к стационарному уравнению

$$u_{\tau_5} + k_1 u_{\tau_3} + k_2 u_{\tau_1} + k_3 u_{t_5} + k_4 u_{t_3} + k_5 u_{t_1} = 0.$$

Не теряя общности, положим  $k_3=k_4=k_5=0$ , сдвигая t,x и v на константы.

#### **Утверждение 1.** Уравнения

$$u_t = u_3 + 6uu_1, \quad v_t = u_2 + 3u^2 \tag{1}$$

совместны с ОДУ

$$3t(u_4 + 10uu_2 + 5u_1^2 + 10u^3)_x + x(u_2 + 3u^2)_x + 4u_2 + 8u^2 + 2u_1v + k_1(3t(u_2 + 3u^2)_x + xu_1 + 2u) + k_2(6tu_1 + 1) = 0, \quad v_x = u. \quad (2)$$

Позже мы перепишем это в более удобном виде.

Параметры  $k_1$ ,  $k_2$  также можно зафиксировать. Заметим, что постоянные решения u=c уравнения (2) исчерпываются корнями уравнения

$$8c^2 + 2k_1c + k_2 = 0.$$

Чтобы могла быть разная асимптотика при  $x\to\pm\infty$ , необходимы два различных вещественных корня. С учетом следующего утверждения можно считать, не теряя общности, что они равны 0 и 1, то есть,

$$k_1 = -4, \quad k_2 = 0$$

и, окончательно, мы приходим к уравнению  $u_{\tau_5} - 4u_{\tau_3} = 0.$ 

**Утверждение 2.** Уравнения (1), (2) инвариантны относительно преобразования Галилея

$$\tilde{x} = x + 6c\tilde{t}, \quad \tilde{t} = t, \quad \tilde{u} = u - c, \quad \tilde{v} = v - cx - 3c^2t,$$

$$\tilde{k}_1 = 8c + k_1, \quad \tilde{k}_2 = 8c^2 + 2k_1c + k_2$$

и растяжения

$$\tilde{x} = \varepsilon^{-1}x$$
,  $\tilde{t} = \varepsilon^{-3}t$ ,  $\tilde{u} = \varepsilon^{2}u$ ,  $\tilde{v} = \varepsilon v$ ,  $\tilde{k}_{1} = \varepsilon^{2}k_{1}$ ,  $\tilde{k}_{2} = \varepsilon^{4}k_{2}$ .

Также, отсюда следует, что можно не делать различия между правыми и левыми ступеньками: они переходят друг в друга при центральной симметрии  $x \to -x, \ t \to -t.$ 

## Представление нулевой кривизны и первые интегралы

Используем условия совместности линейных уравнений

$$\Psi_x = U\Psi, \quad \Psi_t = V\Psi, \quad \Psi_\tau + K\Psi_\lambda = W\Psi,$$

где  $K=K(\lambda)$  многочлен с постоянными коэффициентами. Само КдФ эквивалентно уравнению

$$U_t = V_x + [V, U],$$

где

$$U = \begin{pmatrix} 0 & 1 \\ -\lambda - u & 0 \end{pmatrix}, \quad V = \begin{pmatrix} -u_1 & -4\lambda + 2u \\ 2(\lambda + u)(2\lambda - u) - u_2 & u_1 \end{pmatrix}.$$

Всем симметриям отвечают матрицы W, имеющие общую структуру

$$W = \begin{pmatrix} -Y_x & 2Y \\ -2(\lambda + u)Y - Y_{xx} & Y_x \end{pmatrix}$$

(это же верно для U и V, для которых Y=1/2 и  $Y=-2\lambda+u$ , соответственно).

Стационарное уравнение симметрии имеет представление

$$KU_{\lambda} = W_x + [W, U], \qquad KV_{\lambda} = W_t + [W, V]. \tag{3}$$

Это эквивалентно уравнениям

$$Y_{xxx} + 4(u+\lambda)Y_x + 2u_1Y = K, Y_t = Y_{xxx} + 6uY_x - 3K.$$
 (4)

Считая Y многочленом от  $\lambda$ , можно однозначно найти все его коэффициенты. Если K=0 (автономные симметрии), то уравнения (4) имеют общий первый

интеграл

$$H(\lambda) = \det W = 2YY_{xx} - Y_x^2 + 4(\lambda + u)Y^2 = \operatorname{const}(\lambda).$$

При  $\deg Y=n$  имеем 2n первых интегралов, что достаточно для интегрируемости по Лиувиллю.

Если  $K \neq 0$ , выживает лишь  $\deg K$  интегралов, отвечающих нулям K:

$$H_i = H(\lambda_i), \quad K(\lambda_i) = 0$$

(точнее, если  $\lambda_i$  имеет кратность  $r_i$ , то сохраняются производные  $\frac{d^j H}{d\lambda^j}(\lambda_i)$ ,  $j=0,\ldots,r_i-1$ ). Этого крайне мало, интегрируемость портится.

Применительно к нашему уравнению  $u_{\tau_5} - 4u_{\tau_3} = 0$ , имеем

$$K = -8\lambda(\lambda + 1), Y = 24t\lambda^2 - 2(6tu + x - 12t)\lambda + y,$$
  
$$y = Y(0) = 3t(u_2 + 3u^2) + xu + u_{-1} - 2(6tu + x).$$

Удобно переписать уравнения в переменных u,y.

**Утверждение 3.** При  $k_1=-4$ ,  $k_2=0$ , уравнения (1), (2) эквивалентны совместным системам ОДУ порядка 6:

$$\begin{cases}
3t(u_3 + 6uu_1 - 4u_1) + xu_1 + 2u - y_1 - 2 = 0, \\
y_3 + 4uy_1 + 2u_1y = 0,
\end{cases}$$

$$\begin{cases}
u_t = u_3 + 6uu_1, \\
y_t = 2uy_1 - 2u_1y,
\end{cases}$$
(6)

допускающим два общих первых интеграла

$$H_0 = 2yy_2 - y_1^2 + 4uy^2$$
,  $H_1 = 2zz_2 - z_1^2 + 4(u-1)z^2$ ,

где z = Y(-1) = 12tu + 2x + y.

## Замечания.

- 1) Строго говоря, систему (6) следует переписать в виде векторного поля на переменные  $u,u_1,u_2,y,y_1,y_2$ , исключая  $u_3,y_3$  при помощи (5).
- 2) Так называемая «негативная» симметрия КдФ определяется уравнениями

$$u_{\tau_{-1}} = y_1, \quad y_3 + 4uy_1 + 2u_1y = 0.$$

Нетрудно видеть, что (5) можно интерпретировать не только как стационарное уравнение  $u_{\tau_3}-4u_{\tau_3}=0$ , но и как стационарное уравнение  $u_{\tau_3}-2u_{\tau_1}-u_{\tau_{-1}}=0$ .

3) Переменные y и z можно интерпретировать, как произведения  $\psi$ -функций уравнения Шрёдингера, при  $\lambda=0$  и  $\lambda=-1$ , соответственно. Это даёт еще одну форму записи системы (5):

$$\psi'' = -u\psi, \quad \tilde{\psi}'' = -u\tilde{\psi},$$
  
$$\varphi'' = (1 - u)\varphi, \quad \tilde{\varphi}'' = (1 - u)\tilde{\varphi},$$
  
$$12tu + 2x = \varphi\tilde{\varphi} - \psi\tilde{\psi}.$$

### Некоторые явные решения

$\underline{}$	y	$H_0$	$H_1$
0	-2x+a	-4	$-4a^2$
1	a	$4a^2$	-4
$\frac{2}{\cosh^2 X}$	$2(1 - x \tanh X) \tanh X, \ X = x + 4t + a$	-4	-16
$1 - \frac{2}{\cos^2 X}$	$\frac{2(6t - x) - \sin 2X}{\cos^2 X}, \ X = x + 2t + a$	-16	-4
$-\frac{x}{6t}$	0	0	0
$-\frac{2}{(x+a)^2}$	$\frac{2(12t+a)}{(x+a)^2} - 2(x+a)$	-36	$-16a^2$
$1 - \frac{2}{(x+6t+a)^2}$	$\frac{2a}{(x+6t+a)^2} + 2a$	$16a^2$	-36

Вероятно, первые три решения — это единственные явные среди регулярных при всех x,t. Рациональных решений с вещественными полюсами бесконечно много. Есть также более общие семейства, связанные с функциями Бесселя.

### Решения общего положения

Из-за того, что в уравнении (5) при старшей производной  $u_3$  стоит t, прямая t=0 особая. Решение общего положения имеет на ней сингулярность.

Простейший явный пример сингулярного решения:  $u = -\frac{x}{c_4}$ .

о Похожаев (2012): исследование условий, при которых в задаче Коши для КдФ возникают особенности за конечное время (blow-up).

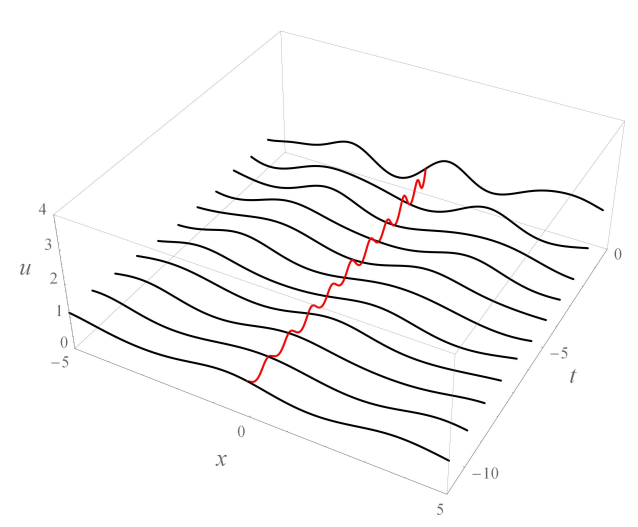
В полуплоскости t < 0 (или t > 0) решение строится так:

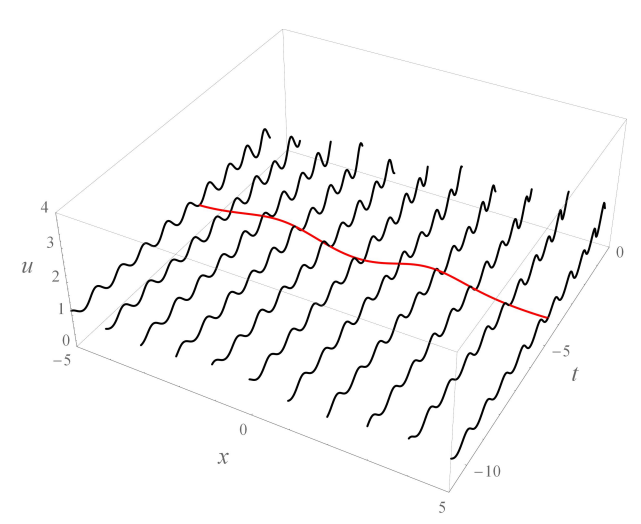
Начальные данные: 
$$(u_0,u_1,u_2,y_0,y_1,y_2)\in\mathbb{R}^6$$
 в точке  $(x_0,t_0),\ t_0<0.$ 

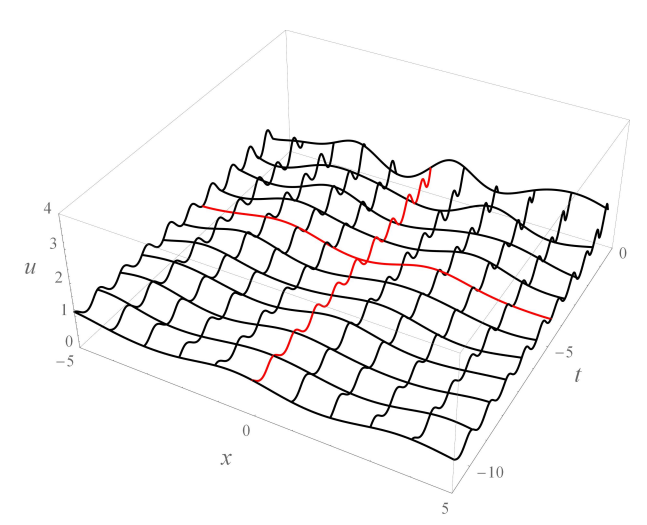
Решение системы (6) по t при  $x = x_0$ . Это начальные данные для системы (5).

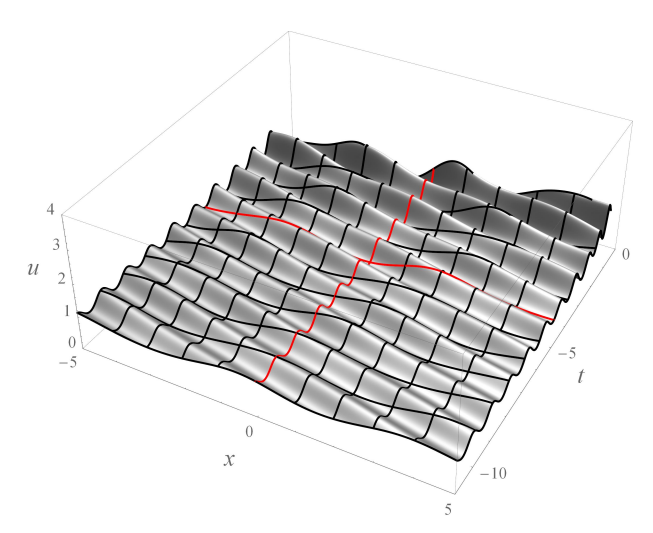


Решение системы (5) по x при всех  $t \in (-\infty, 0)$ .

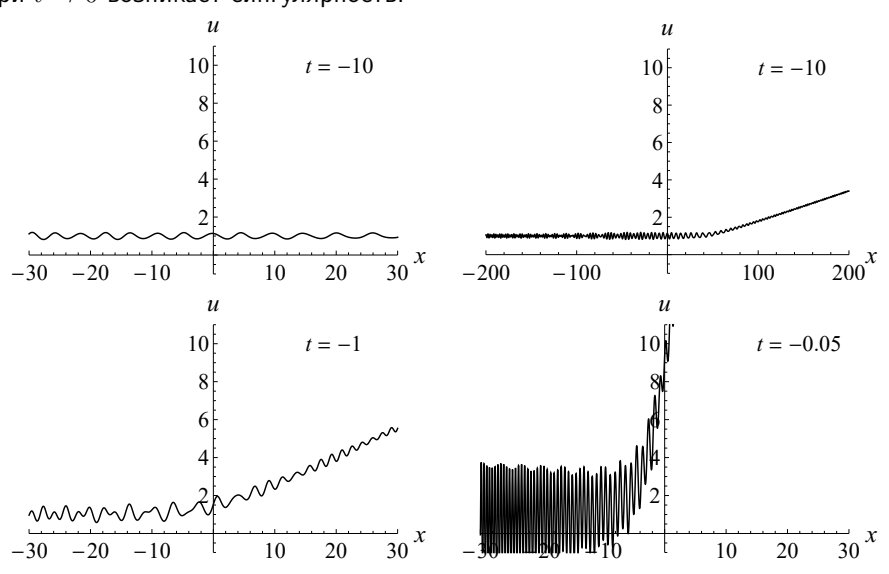


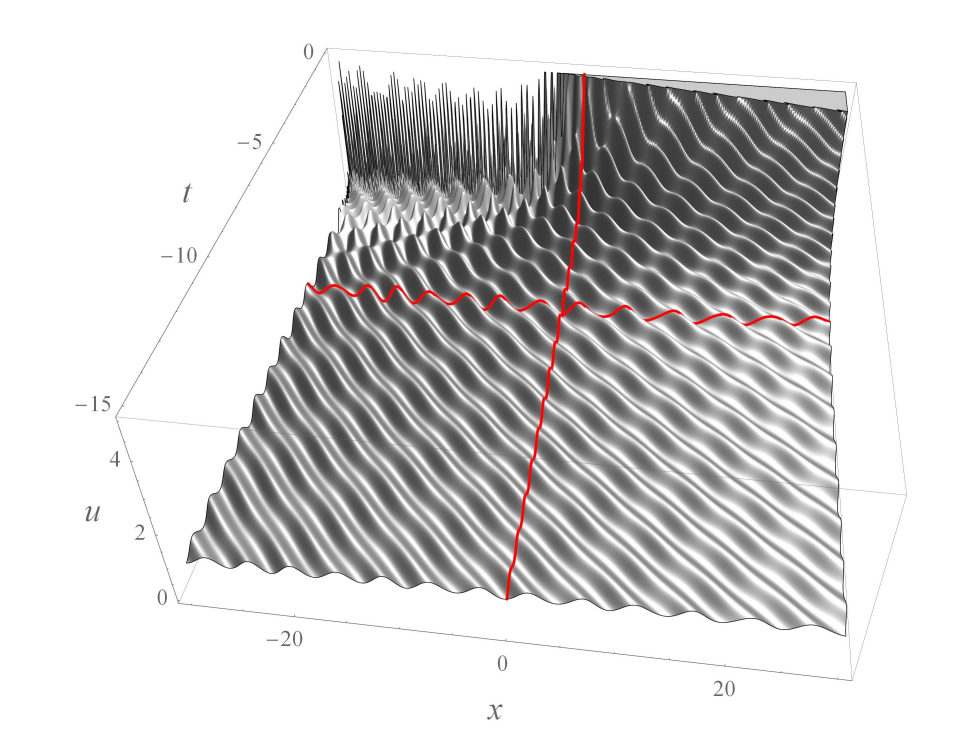






При небольших x типичное решение выглядит, как осцилляции около u=1, но, на самом деле, оно растет по x на одной полуоси. При увеличении t рост заметен уже при небольших x, а на другой полуоси усиливаются осцилляции. При  $t\to 0$  возникает сингулярность.





### Уравнение Пенлеве при t=0

Далее рассматриваем только решения, регулярные при t=0. Для них на этой прямой порядок уравнения падает до 4:

$$xu_1 + 2u - y_1 - 2 = 0,$$
  $y_3 + 4uy_1 + 2u_1y = 0.$  (7)

Первые интегралы:

$$H_0 = 2yy_2 - y_1^2 + 4uy^2,$$
  

$$H_1 = 2(2x+y)y_2 - (2+y_1)^2 + 4(u-1)(2x+y)^2.$$

На y получается уравнение порядка 2, эквивалентное вырожденному уравнению  $P_5$  (связанному также с  $P_3$ , Громак  $\underline{1975}$ ).

**Утверждение 4.** (ВА, Шабат, Ямилов <u>2000</u>) Система (7) эквивалентна

$$p'' = \left(\frac{1}{2p} + \frac{1}{p-1}\right)(p')^2 - \frac{p'}{X} + \frac{(p-1)^2}{X^2}\left(\alpha p + \frac{\beta}{p}\right) + \gamma \frac{p}{X} + \delta \frac{p(p+1)}{p-1} \quad (P_5)$$

при замене

$$p(X) = \frac{2x}{y(x)} + 1$$
,  $X = x^2$ ,  $\alpha = -\frac{H_0}{32}$ ,  $\beta = \frac{H_1}{32}$ ,  $\gamma = \frac{1}{2}$ ,  $\delta = 0$ .

#### Регулярные решения

В свою очередь, система (7) имеет особую точку x=0. Для решений, регулярных в этой точке, начальные условия должны быть связаны соотношением

$$2u(0,0) = y_1(0,0) + 2.$$

Таким образом, условие регулярности ещё раз понижает размерность, с 4 до 3. В окрестности x=0 регулярные решения строятся в виде рядов

$$y = a_0 + a_1 x + a_2 x^2 + \dots, \quad u = b_0 + b_1 x + b_2 x^2 + \dots,$$

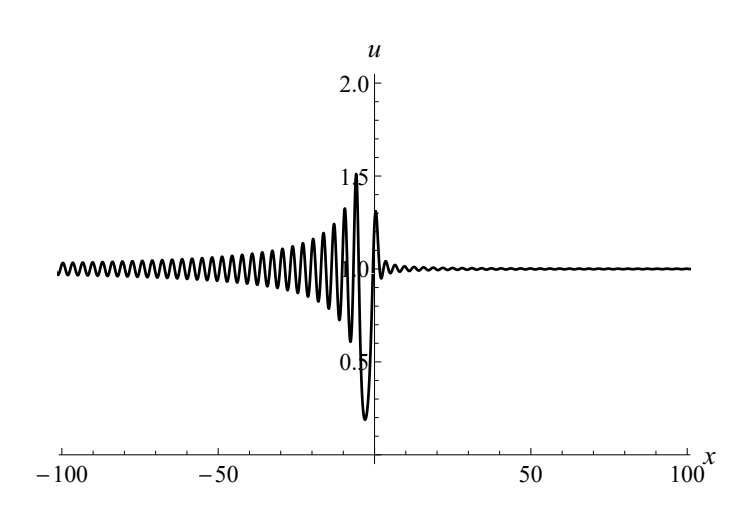
где коэффициенты  $a_0, a_1, a_2$  свободны, а остальные находятся по формулам

$$b_0 = 1 + \frac{1}{2}a_1, \quad b_{n-1} = \frac{n}{n+1}a_n, \quad n = 2, 3, \dots,$$

$$a_n = -\frac{2}{n(n-1)(n-2)} \sum_{j=0}^{n-2} (2n-4-j)b_j a_{n-2-j}, \quad n = 3, 4, \dots.$$

Ряды имеют радиус сходимости порядка 1. Дальше решение можно продолжить, численно решая (7).

Конечно, решения могут иметь подвижные особенности (полюсы) и при  $x \neq 0$ . Однако, численные эксперименты показывают, что имеется область начальных данных, для которых решения регулярны на всей оси. Типичное такое решение имеет вид медленно затухающих (как  $x^{-1}$ ) осцилляций около u=1, разделенных провалом около 0, причем амплитуда осцилляций слева и справа разная.



Итак, все регулярные решения наших уравнений параметризуются тремя числами  $a_0,a_1,a_2$  — начальными данными в точке (0,0). Сначала мы строим по ним решение при t=0.

Дальше требуется продолжить его на все значения t. Это самый сложный этап, с вычислительной точки зрения. Теоретически, он тоже сводится к решению ОДУ, более того, решение можно строить разными способами:

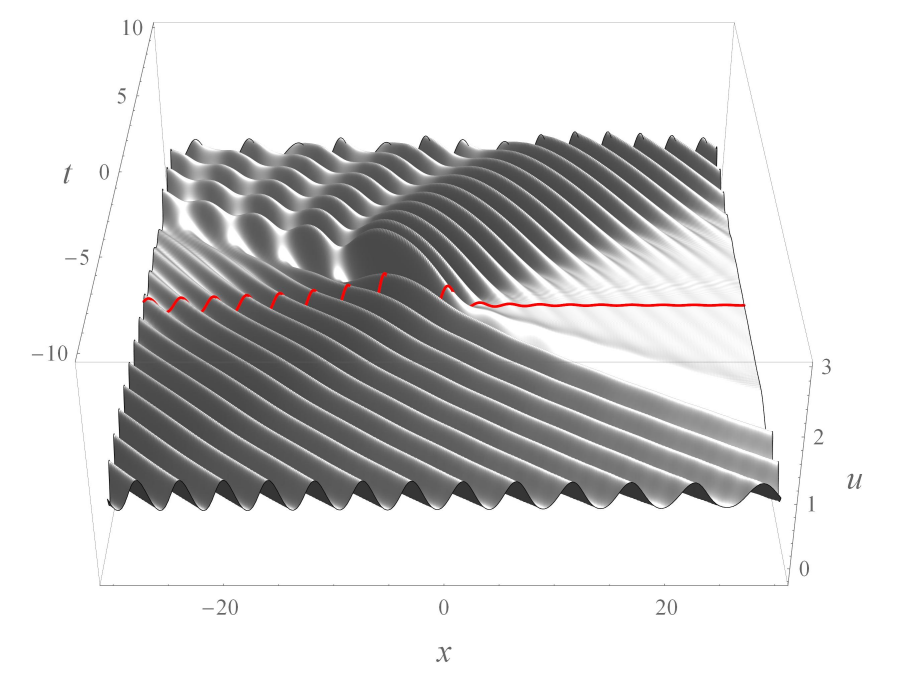
- $\circ$  использовать решение при t=0 в качестве начальных данных для системы (б) при всех x (опять, сначала решение в виде ряда, затем его продолжение);
- $\circ$  сначала решить (6) при x=0, с теми же начальными данными  $a_0,a_1,a_2$ ; затем использовать полученное решение как начальные данные для (5) при всех t;
- $\circ\;$  решать уравнения вдоль прямых x=ct, с начальными данными  $a_0,a_1,a_2.$

На практике, это все работает, но плохо. Во-первых, ряды по t сходятся хуже, чем по x; во-вторых, сами уравнения крайне неустойчивы (жесткие системы) и решения сбиваются на сингулярные.

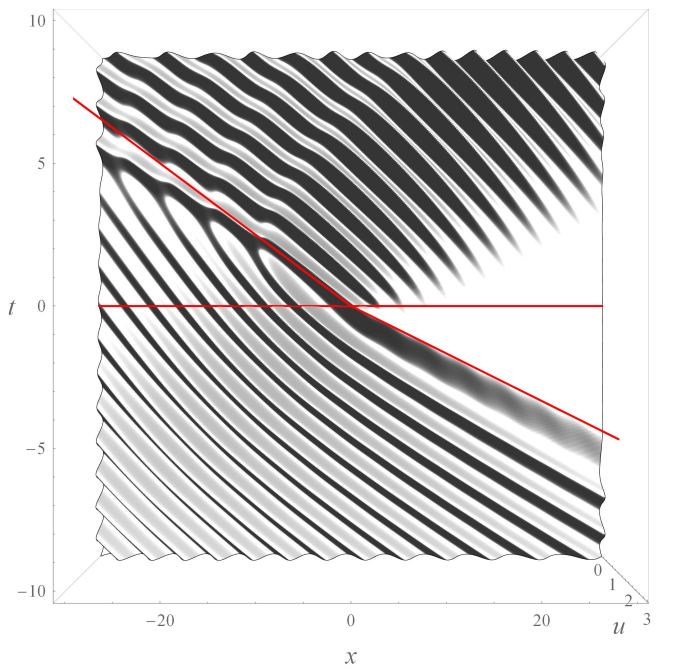
Возможно, требуется какая-то нетривиальная замена переменных.

Пока что оказывается эффективнее продолжать решение сеточным методом.

To же решение при  $t \neq 0$ . Вид со стороны t < 0.



Вид сверху. Выделены лучи x=-6t, t<0 и x=-4t, t>0.



### Предельный переход к решению типа ступеньки

Плавно варьируя начальные данные для системы (7), можно заметить уширение центрального провала в момент, предшествующий образованию полюса. При этом на одной полуоси решение практически не меняется, а на другой осцилляции отъезжают все дальше и дальше.

Насколько далеко можно их отогнать?

Применим метод пристрелки для подбора начального значения  $a_0$ , при фиксированных  $a_1,a_2$ , либо при фиксированных значениях первых интегралов

$$H_0 = 4a_0a_2 + 2a_0^2(a_1 + 2) - a_1^2, \quad H_1 = 4a_0a_2 + 2a_0^2a_1 - (a_1 + 2)^2.$$

Задается отрезок  $[a_0(1),a_0(2)]$ , на одном конце которого решение срывается в особенность, а на другом осциллирует. В середине считается новое решение и одна половина отрезка выкидывается. Получается последовательность значений

$$a_0(n) \to a_0, \quad n = 1, 2, 3, \dots$$

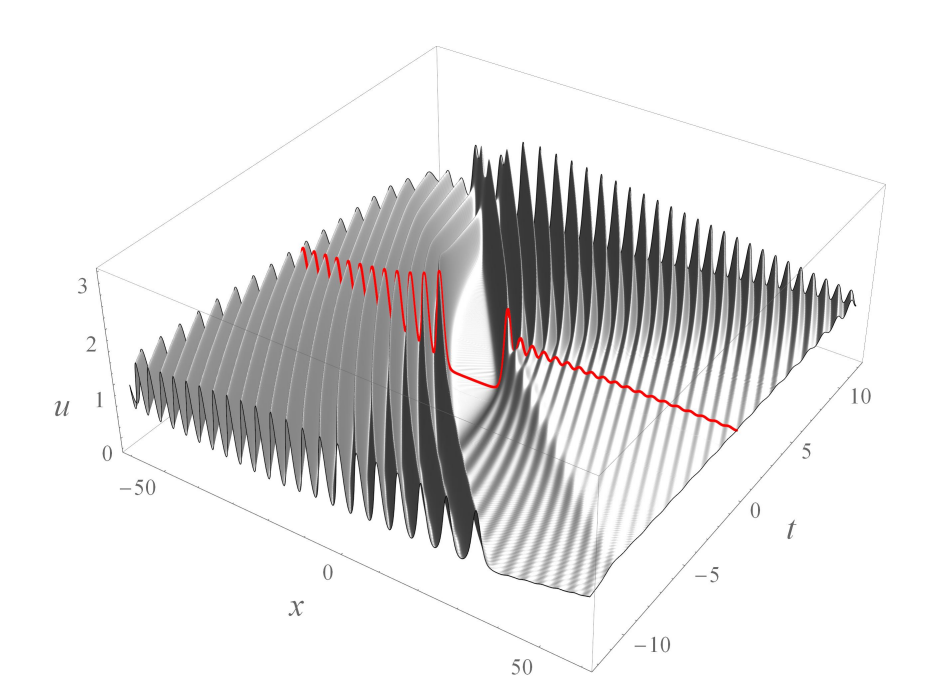
для которых провал постепенно расширяется. В пределе получается сепаратрисное решение в виде ступеньки.

солитону, но затрагивает лишь одну впадину. Одна из ступенек при  $H_0=-2,\,H_1=-6.$  Грубо говоря, чтобы удлинить сту-

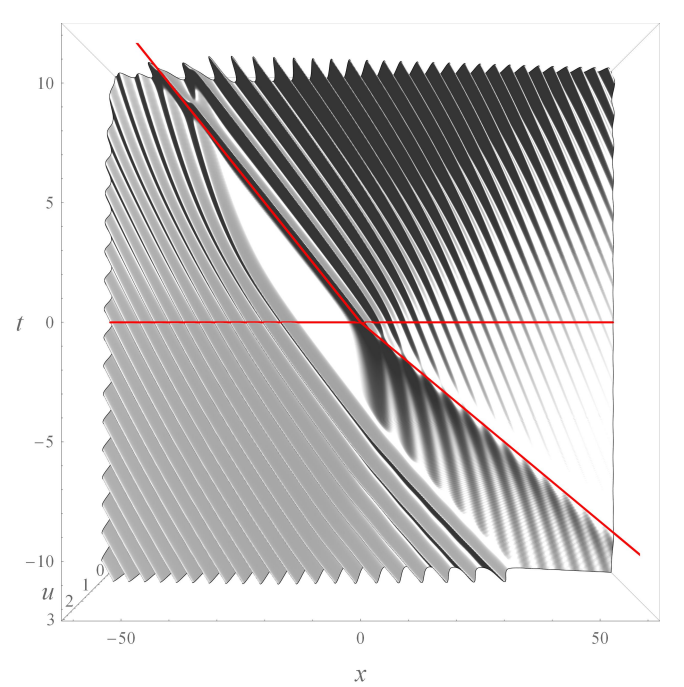
Процесс отдаленно напоминает предельный переход от кноидальной волны к

Одна из ступенек при  $H_0 = -2$ ,  $H_1 = -6$ . Грубо говоря, чтобы удлинить ступеньку на 1, нужно вычислить следующий точный десятичный знак  $a_0$ .

### Промежуточное решение с широкой ямой.



# Вид сверху.



#### Решение типа ступеньки

Ступеньки, отвечающие разным значениям  $H_0, H_1$ , на вид мало отличаются, различие проявляется в асимптотике. Подставляя в (7) разложения по  $x^{-1}$ , нетрудно построить формальные асимптотические решения в виде рядов

$$u(x) \sim A_2 x^{-2} + A_3 x^{-3} + \dots, \quad y(x) \sim -2x + B_0 + B_2 x^{-2} + B_3 x^{-3} + \dots$$

причем оказывается, что

$$A_2 = \frac{H_0 + 4}{16}, \quad B_0^2 = -\frac{H_1}{4},$$

а все остальные коэффициенты находятся однозначно. Таким образом, асимптотика при  $u \to 0$  определяется первыми интегралами (при  $u \to 1$  асимптотические формулы выписать сложнее).

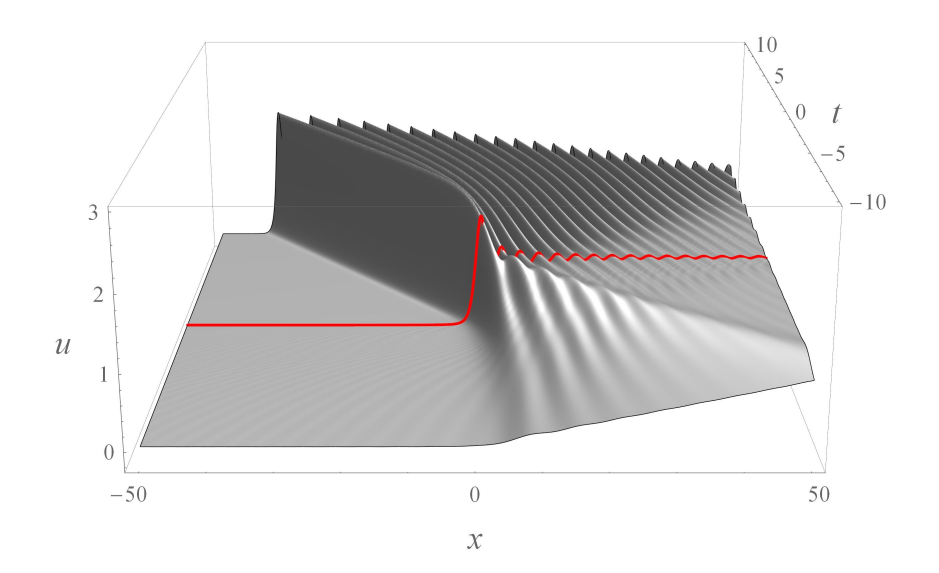
**Гипотеза.** Решения типа ступеньки с асимптотикой  $u\to 0$ ,  $x\to -\infty$  существуют при некоторых двух значениях  $a_0$  для любых значений  $H_0>-4$  и  $H_1<0$ .

Это означает, что имеется двухпараметрическое семейство ступенек. Зеркально симметричным ступенькам с асимптотикой  $u(x) \to 0, \ x \to +\infty$  отвечают значения  $-a_0$ .

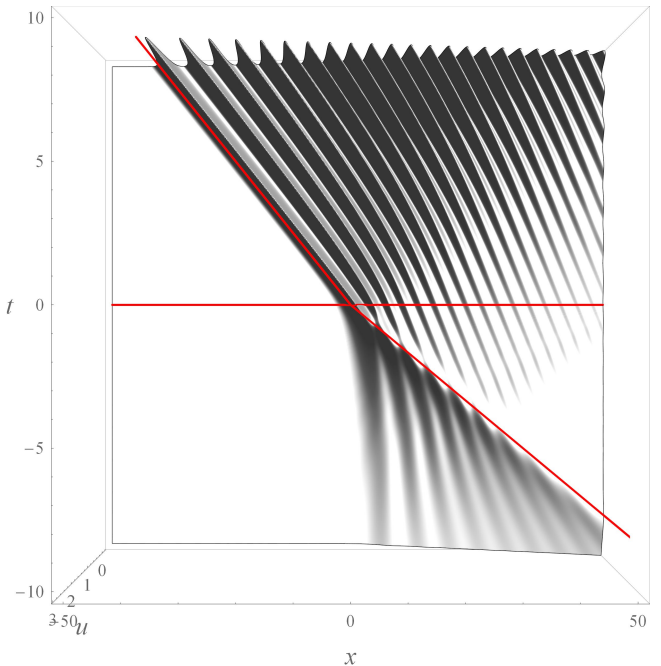
В заключение, разные графики для той же ступеньки при  $H_0=-2,\ H_1=-6.$  Волна сжатия.

Осцилляции в нижней части волны разрежения отсутствуют, вместо них происходит медленное рассасывание начальных осцилляций в верхней части.

# Вид со стороны t < 0.



Вид сверху. Выделены лучи  $x=-6t,\, t<0$  и  $x=-4t,\, t>0.$ 



### Заключение

Мы показали (численно), что уравнение КдФ допускает решения, определяемые парой ОДУ (5) и (6).

Для решений этих ОДУ описана такая последовательность вырождений:

решения общего положения (6 параметров)

1

решения, регулярные при t=0 (4 параметра), уравнение  $\mathsf{P}_5$ 

1

решения, регулярные при x=0, t=0 (3 параметра), явное специальное начальное условие



сепаратрисные решения типа ступеньки (2 параметра), неявное специальное начальное условие (пристрелка)

Эффективность выделения очередного подкласса падает на каждом шаге. Это затрудняет численный счёт: он постоянно сбивается на решения более общего вида.

Поэтому, для двух последних классов решений необходимо искать более адекватную характеризацию. (Для сравнения: солитон проще, чем кноидальная волна, но у нас пока получается наоборот).

Тем не менее, обнадеживает сам факт, что для решений типа ступеньки удалось найти хоть какие-то дифференциальные уравнения.

#### Открытые задачи:

- $\circ$  строгое доказательство существования регулярных и сепаратрисных решений;
- о изучение их асимптотики и формул связи;
- о приложения к задаче ГП.